砂混じり粘土の塑性指数と初期剛性率について

山口大学大学院 学生会員 山田 卓 山口大学大学院 正会員 兵動正幸 山口大学大学院 学生会員 兵動太一

1.はじめに

自然地盤は砂と粘土が入り混じった複雑な粒度組成の土で構成される場合が多い.また,これら砂混じり粘土の力学特性は非常に複雑であり,設計定数の定量的な評価方法が定まらない現状にある $^{1)}$.著者らはこれまでに,砂混じり粘土の新しいコンシステンシー定数として,液塑性試験の対象となる粒径を 2 mm とした塑性指数 2 Peを用いることを提案し,図 - 1 に示すように動的変形係数について通常の塑性指数 2 Peよりも良い相関関係が得られることを示した $^{2)}$. 本論文では,砂混じり粘土を用いて行った液塑性試験結果を基に通常の液塑性試験から 2 Peの予測方法を提案している.

2.用いた試料

本研究で用いた試料は,小野田粘土(山口県小野田港),有明粘土(佐賀県六角川河口)および岩国粘土(山口県岩国港)に様々な配合割合で珪砂を混合して作成した混合土である.表 - 1 中の試料名に含まれる数字は混合土内に占める粘土の乾燥重量比率を示している.また,岩国粘土混合土においては,配合する珪砂の粒度分布を 3 通りに変化させて試料を作成し,それぞれ岩国粘土混合土 A,B,C とした.図 - 2 に各試料の粒径加積曲線を示し,表 - 1 に物性値および試験結果の一覧を揚げる.表中の $PC_{2\mu m}$, $PC_{5\mu m}$ とはそれぞれ粘土分を粒径 $2\mu m$ 以下および粒径 $5\mu m$ 以下と定義した場合の粘土分含有率である.また,FC および PC'_{2m} はそれぞれ液塑性試験の際に 0.425mm フルイで裏ごしされた試料の細粒分含有率および $2\mu m$ 以下の粘土分含有率である.

3. Ip*の定義と予測方法

地盤工学会基準で定められている JIS A 1205「土の液性限界・塑性限界試験方法」では $0.425 \, \mathrm{mm}$ フルイで裏ごしした試料を用いることから,砂分を多く含む試料の塑性指数は粒径 $0.425 \, \mathrm{mm}$ 以上の砂分の存在を無視したものとなり,試料の物理的性質を十分に反映していないことが懸念される.そこで本研究では,試料全体 $(2 \, \mathrm{mm}$ 以下)の粒径に適用して土の液性限界・塑性限界試験を行い,液性限界と塑性限界を w_L^* , w_P^* ,塑性指数を I_P^* と定義した.なお,粒度組成のほぼ全てが細粒分から成る試料(FC=85%程度以上)については,

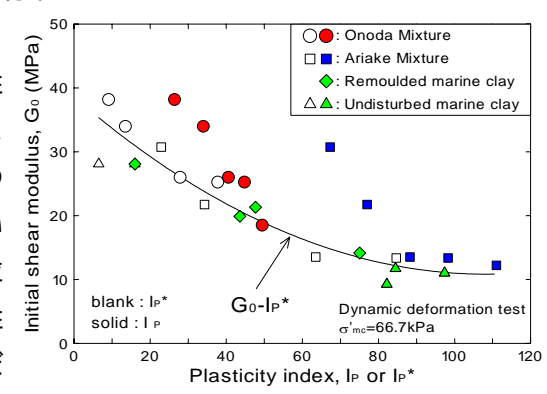


図 - 1 初期せん断剛性率と塑性指数および Ip*の関係

通常の液性限界・塑性限界試験から求まる塑性指数をその試料 表 - 1 試料の物性値および試験結果一覧

の I_P *として用いた.

図 - 3 は小野田粘土混合土 OC30 の粒径 加積曲線を示している.この試料の I_P *は a の粒度分布を対象とした液塑性試験によって得られ,a を 0.425mm フルイで裏ごしした後の粒度分布 b を対象とした試験により I_P が得られる.図より,裏ごし前後の A と b の粒度分布が異なることは明らかであり,粒度分布 b から得られた

| Sample name | | FC | PC 2mm | PC 5mm | VV L | I p | VV L | I p | 0.42511 | 川ろること |
|----------------------|--------------|------|--------|--------|--------|-------|--------|-------|---------|------------------------|
| | | (%) | (%) | (%) | (%) | | (%) | | FC'(%) | PC' _{2um(} %) |
| Onod | la clay | 84.5 | 24.5 | 37.5 | 84.04 | 49.5 | 84.04 | 49.5 | 84.3 | 24.5 |
| | OC80 | 67.0 | 19.6 | 30.0 | 69.18 | 44.8 | 60.49 | 37.8 | 100.0 | 22.6 |
| Onoda | OC60 | 50.0 | 14.7 | 21.5 | 63.15 | 40.6 | 46.13 | 27.9 | 69.3 | 20.1 |
| Mixture | OC40 | 32.5 | 9.8 | 14.0 | 55.41 | 34.0 | 25.99 | 13.5 | 56.8 | 16.4 |
| • | OC30 | 25.3 | 7.4 | 11.0 | 47.03 | 26.4 | 17.37 | 9.1 | 48.2 | 13.9 |
| Ariak | Ariake clay | | 44.1 | 61.5 | 155.34 | 111.0 | 155.34 | 111.0 | 100.0 | 44.1 |
| | ACC80 | 79.5 | 35.3 | 49.0 | 138.37 | 98.3 | 123.70 | 84.7 | 92.3 | 40.9 |
| Ariake | ACC60 | 59.7 | 26.5 | 37.0 | 124.25 | 88.3 | 88.96 | 63.5 | 82.1 | 36.4 |
| Mixture | ACC40 | 39.9 | 17.6 | 24.0 | 108.48 | 77.0 | 53.68 | 34.3 | 67.2 | 29.6 |
| · | ACC30 | 29.8 | 13.2 | 18.5 | 95.45 | 67.3 | 39.68 | 22.9 | 57.0 | 25.1 |
| Iwaku | Iwakuni clay | | 19.2 | 38.8 | 77.34 | 47.5 | 77.34 | 47.5 | 98.0 | 19.2 |
| Iwakuni Mixture A | ICA50 | 49.0 | 9.6 | 19.4 | 58.24 | 31.4 | 39.46 | 20.2 | 75.1 | 14.7 |
| | ICA40 | 39.2 | 7.7 | 15.5 | 53.38 | 29.1 | 31.47 | 13.9 | 67.3 | 13.2 |
| WIXTUIE A | ICA30 | 29.0 | 5.8 | 11.6 | 47.31 | 28.7 | 24.16 | 10.2 | 57.3 | 11.2 |
| Iwakuni Mixture B | ICB50 | 49.0 | 9.6 | 19.4 | 49.39 | 26.1 | 39.37 | 20.5 | 69.6 | 13.6 |
| | ICB40 | 39.2 | 7.7 | 15.5 | 44.38 | 22.4 | 33.79 | 14.3 | 60.8 | 11.9 |
| | ICB30 | 29.0 | 5.8 | 11.6 | 33.19 | 14.4 | 23.95 | 9.9 | 50.2 | 9.9 |
| Iwakuni Mixture C | ICC50 | 49.0 | 9.6 | 19.4 | 41.20 | 22.6 | 41.20 | 22.6 | 49.0 | 9.6 |
| | ICC40 | 39.2 | 7.7 | 15.5 | 35.47 | 13.9 | 35.47 | 13.9 | 39.1 | 7.7 |
| | ICC30 | 29.0 | 5.8 | 11.6 | N.P | N.P | N.P | N.P | 29.4 | 5.8 |

キーワード 砂混じり粘土,初期せん断剛性率,塑性指数

連絡先 〒755-8611 山口県宇部市常盤台 2-16-1 山口大学工学部社会建設工学科 T E L 0836-85-9344

 I_P を OC30 の I_P とすることは適当でないと考えられる.

図 - 4は I_P と 0.425mm フルイで裏ごし後の粒度分布における粘土分含有率 $PC'_{2\mu m}$ の関係と I_P *と $PC_{2\mu m}$ の関係を併せて示したものであり ,塗りつぶしの プロットが I_P - $PC'_{2\mu m}$ 関係 , 白抜きのプロットが I_P * - $PC_{2\mu m}$ 関係を表している . 一般に細粒土の I_P と $PC'_{2\mu m}$ の関係は原点を通る直線となり ,直線の傾きは活性度を示す . 図より ,全ての種類の混合土において I_P - $PC'_{2\mu m}$ 関係 , I_P *

 $-PC_{2\mu m}$ 関係は同一の直線関係となることがわかる.これより, I_P* は I_P と同様に 2μ m 以下の粘土分含有率により一義的に決まるパラメータであるといえる.ここで,全試料が同一直線上にプロットされる理由として,用いた 3 種の粘土試料は全て西日本の海成粘土であり,これらの粘土鉱物組成が非常に近いためであると考えられる.したがって,次に示す ~ の方法によって砂混じり粘土の I_P* を求めることができる.砂混じり粘土の粒度試験を行い 2μ m 以下の粘土分含有率 $PC_{2\mu m}$ を求める. 通常の液塑性限界試験を行い 塑性指数 I_P を求める.

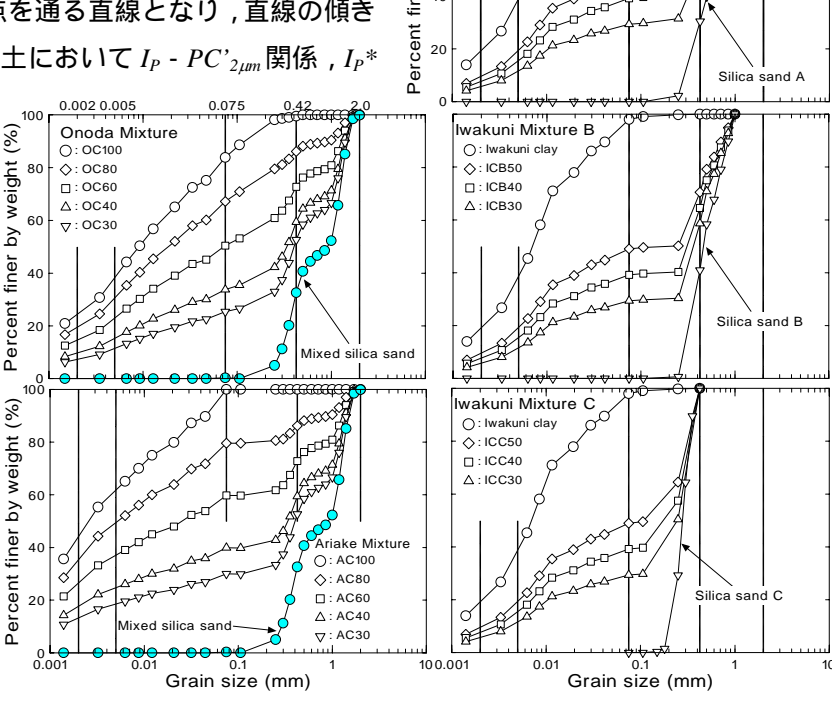


図 - 2 粒径加積曲線

0.002 0.005

♦: ICA50

△: ICA30

Iwakuni Mixture A

100

80

60

ģ

0.425mm フルイで裏ご

しされた試料の粒度分布を計算し,その 2μ m以下の粘土分含有率 $PC'_{2\mu m}$ を求める.図 - 4で得られた直線関係より I_P* は, $I_P*=I_P(PC_{2\mu m}/PC'_{2\mu m})$ で求めることができる.図 - 5は全ての試料の I_P* について,計算値と実験値を比較したものであるが,

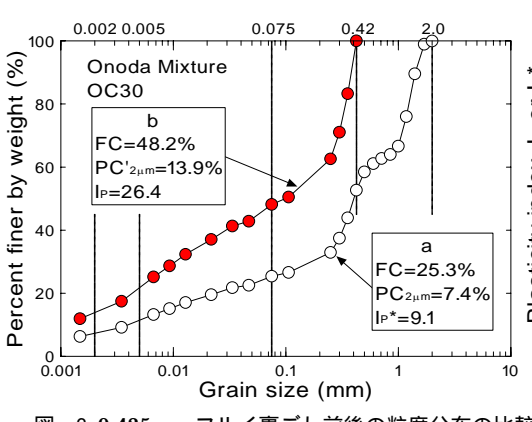


図 - 3 0.425mm フルイ裏ごし前後の粒度分布の比較

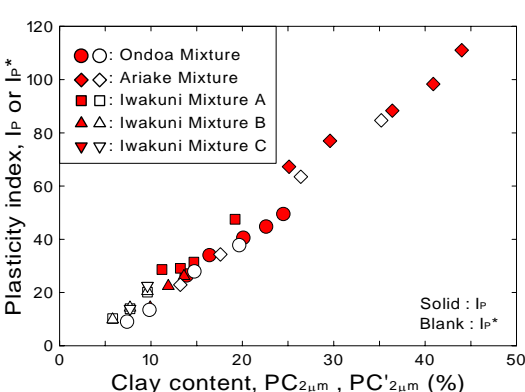


図 - 4 I_P および I_P *と粘土分含有率の関係

両者は概ね 1:1 の関係であることから,試料の粒度分布と液塑性試験 I_P から I_P *を予測することが可能であると考えられる.

4.まとめ

本研究で定義した I_P* は $2\mu m$ 以下の粘土分含有率と一義的関係にあることが明らかになった.また, I_P* を砂混じり粘土の粒度分布と通常の液性限界・塑性限界試験から求める方法を提案した.

【参考文献】

- 1) 地盤工学会:ジオテクノート(2) 中間土 砂か粘土か 第2章,1992.
- 2) 山田卓,兵動正幸,中田幸男,吉本憲正,村田秀一:土の動的変形特性に及ぼす塑性指数の影響,土木学会地震工学論文集,Vol27,2003.

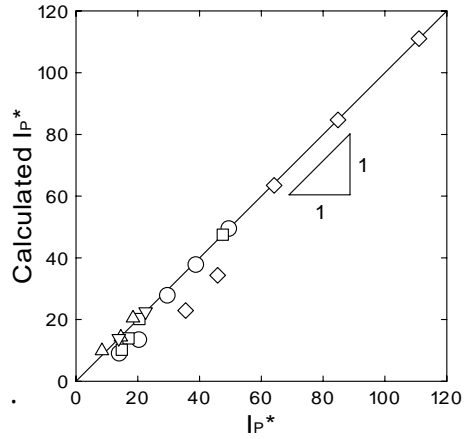


図 - 5 Ip*の計算値と実験値の比較